

# TMU #61-A #61-B 冷却実験 (2001年4月下旬)

広池 哲平

2001年5月14日

## 概要

## 1 素子について

### 1.1 構造

### 1.2 熱特性の見積もり

#### 1.2.1 理論

低温での Si の比熱は、電子比熱  $c_e$  に比べ、格子比熱  $c_s$  が支配的である。1モル当たりの格子比熱は、デバイ温度  $\Theta_D$  よりも十分に低い温度  $T$  ( $T \ll \Theta_D$ ) に於いては、

$$c_s = \frac{12\pi^4}{5} N_A k_B \left( \frac{T}{\Theta_D} \right)^3 \quad (1)$$

と表すことができる(デバイの  $T^3$  則)。ここで、 $N_A$  はアボガドロ数、 $k_B$  はボルツマン定数である。この式に Si のパラメータ ( $\Theta_D = 645$  [K]、原子濃度  $5.00 \times 10^{-22}$  [cm<sup>-3</sup>]) を用いて、1cm<sup>3</sup> 当たりの比熱を求ると、

$$c_s(Si) = 6.01 \times 10^{-7} \times T^3 \text{ [J/cm}^3/\text{K}^4\text{]} \quad (2)$$

となる。同様に Al の比熱に関しては、 $\Theta_D = 428$  [K]、原子濃度  $6.02 \times 10^{-22}$  [cm<sup>-3</sup>] を用いて、

$$c_s(Al) = 2.48 \times 10^{-6} \times T^3 \text{ [J/cm}^3/\text{K}^4\text{]} \quad (3)$$

と求まる。ただし、Alの場合にこの式を用いて良いのは、電子比熱の寄与が無視できる1K以下の温度のときである。一方、熱伝導率  $k$  は、

$$k = \frac{1}{3} cvl \quad (4)$$

と書ける。ここで、 $c$  は比熱、 $v$  は音速、 $l$  は平均自由行程である。カロリメータの様にサイズが平均自由行程と同程度になる場合には、寸法効果によって、 $D$  を試料のサイズとして、

$$k \sim cvD \quad (5)$$

と表すことができる。

#### 1.2.2 見積もり

今回実験に用いた素子は、膜厚が Ti/Au 1000/1200[Å] で、250μm × 290μm の正方形形状である。Si ピクセルについては、1 mm × 1 mm × 20 μm である。

#### 熱容量

式(2)に従って、熱容量を求ると、

$$C = 1.2 \times 10^{-11} \times T^3 \text{ [J/K}^4\text{]} \quad (6)$$

となる。

### 熱伝導度

式(3)のSiの比熱を用いて $D = 20 \text{ }\mu\text{m}$ として、式(5)から熱伝導率を見積もる。ただし、 $v$ については、値がはつきりしないので典型的な値として、 $v = 5000 \text{ [m/s]}$ を仮定する。このときのSiの熱伝導率 $k_{Si}$ は、

$$k_{Si} = 6.01 \times 10^{-2} \times T^3 \text{ [W/m/K}^4\text{]} \quad (7)$$

となり、これをカロリメータに適応させると、ビームの部分のSiによる熱伝導度 $G_{Si}$ は、断面積 $20 \text{ }\mu\text{m} \times 20 \text{ }\mu\text{m}$ 、長さ2mmのアームが2本あるので、

$$G_{Si} = k_{Si} \frac{20 \times 10^{-6} \times 20 \times 10^{-6} \times 2}{2 \times 10^{-3}} = 2.4 \times 10^{-8} \times T^3 \text{ [W/K}^4\text{]} \quad (8)$$

と見積もられる。

### メモ

今回、宇宙研にてボンディングを完了させ、それから配線を半田付けしたのだが、半田付けの際、バンディングパッドが取れてしまった。そのスタイキャストが外れたところは、PEG $\alpha$ を用いて接着させ、もう一度、宇宙研にてボンディングを行ったのち、都立大にて配線の半田付けをし、組み込んだ。

今回の組み込み手順を簡単に示すと、

素子のマウント → ボンディング → 半田付け

であったが、接着済が熱に弱いので、この順序ではなく、

半田付け → 素子のマウント → ボンディング

の順で作業を行う方が、作業自体は多少やりにくく側面も出て来るが、失敗する可能性が低くなり、失敗した際やり直すことになっても、二度手間になることを防ぐことが可能となる。

## 2 測定

都立大希釈冷凍機に、カロリメータ#61-A(吸収体なし)、#61-B(吸収体あり)を組み込こんだ。図1参照。温度計

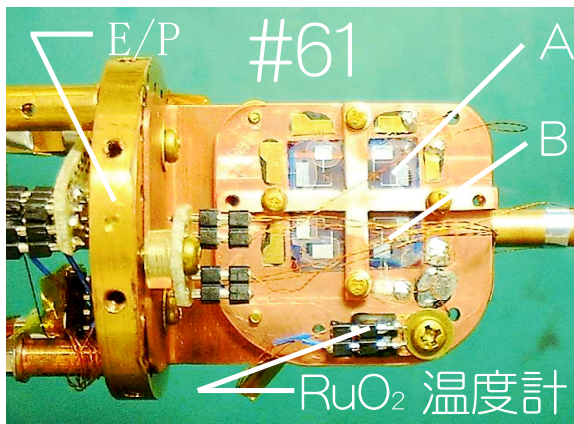


図1: #61組み込み時の写真

にはRuO<sub>2</sub>を用いてE/Pの温度、パッド上の温度を別々にモニターできる仕様である。カロリメータの乗っているパッド上での温度モニターには、LTC-21 Temperature Controllerを用いている。E/Pの温度コントロールには、AVS-47 Resistance Bridge、TS-530 Temperature Controllerを用いてコントロールしている。カロリメータの抵抗値の測定には、LR-700 Resistance Bridgeを用いている。このブリッジは、約16Hzの交流電流をサンプルに流して抵抗値を測定する。この時流れる電流は、Resistance Range ( $R_{range}$ )とExcitation Range ( $V_{range}$ )の値に依って

決まり、実行値で、

$$I = \frac{V_{range}}{R_{range}} \quad (9)$$

のようになる。測定装置などの配線の模式図を、図??に示す。測定は、LR-700 の Resistance、Excitation のレンジを、下の表1 の様に変化させ、カロリメータを流れる電流の大きさを、6通りとれるようにし、Filter 10s にセットして 10 秒間の平均値を記録した。

Resistance [ $\Omega$ ]	2	2	20	20	200	200
Excitation [ $\mu V$ ]	20	60	20	60	20	60
Current [ $\mu A$ ]	0.1	0.3	1	3	10	30

表 1: LR-700 のレンジと、その時流れる電流値

### 3 結果

#### 3.1 R-T 特性

$2\Omega$  レンジで取ったデータでは、測定した温度範囲内では超伝導に転移しなかったということと、 $200\Omega$  レンジで取ったデータは、誤差内でほとんど  $20[\Omega]/20[\mu V]$  レンジで測定したデータと一致するので、ここでは  $20[\Omega]/20[\mu V]$ (黒丸)と、 $20[\Omega]/60[\mu V]$ (白丸)とを重ねて、図 2、図 3 にそれぞれ示す。 $20[\Omega]/60[\mu V]$ (白丸)では、流す電流値が大きくなっているので、発熱量が大きく、LTC-21 で見ている温度よりもカロリメータの温度は高く、超伝導転移温度が低くなっている。R-T の傾きも急になっているように見える。

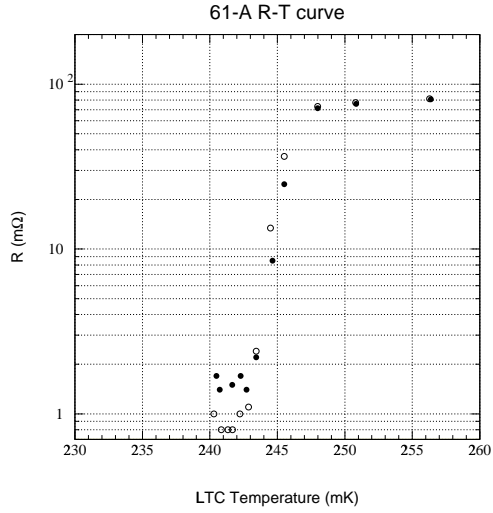


図 2: #61-A R-T 特性

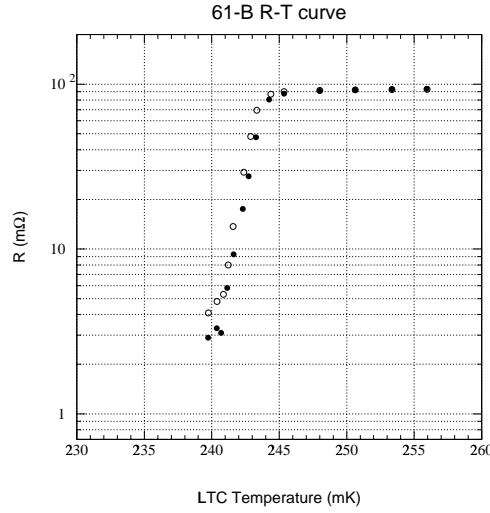


図 3: #61-B R-T 特性

#### 3.2 パラメータ

$20[\Omega]/20[\mu V]$  レンジで測定したものを用い、各種パラメータを求めたものを、表 2 にまとめる。転移温度  $T_C$  は、残留抵抗  $R_0$  の半分の値を持つときの温度として求め、転移幅  $\Delta T_C$  については、抵抗値が残留抵抗の値の 10% から 90% になる温度幅として求めている。表中の  $\alpha$  については、

$$\alpha \sim \frac{8}{5} \frac{T_C}{\Delta T_C} \quad (10)$$

という式を用いて求めた。また、 $20[\Omega]/20[\mu\text{V}]$  レンジで測定したものから、ある測定点と、その前後の温度での測定

素子の名称	#61-A	#61-B
吸収体	無し	有り
残留抵抗 $R_0 [\Omega]$	87.26	95.70
オフセット抵抗 $[\Omega]$	$\sim 3$	$\sim 3$
転移温度 $T_C [\text{mK}]$	246	243
転移幅 $\Delta T_C [\text{mK}]$	3.4	3.2
$\alpha$	116	123

表 2: 測定より求まった各種パラメータ

値の、合計 3 点を通る 2 次曲線を求めてやり、その点での接線の傾き  $dR/dT$  を下の式に代入することで、

$$\alpha \equiv \frac{d \ln R}{d \ln T} = \frac{T}{R} \frac{dR}{dT} \quad (11)$$

$\alpha$  の値をそれぞれの温度で求めることができる。これをグラフにするとそれぞれ、図 4、図 5 となる。

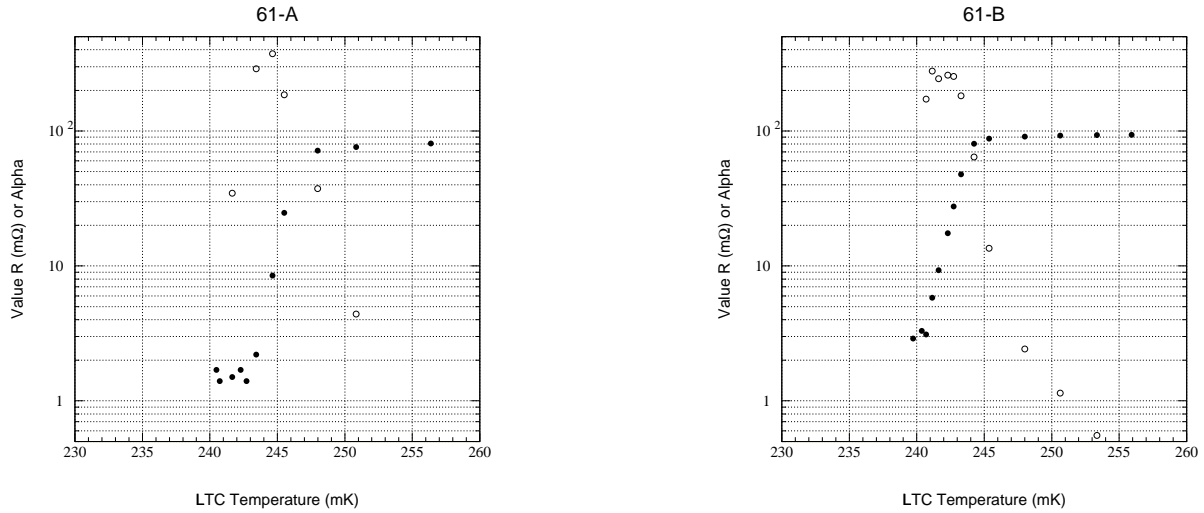


図 4: #61-A  $\alpha$  の値を上書き

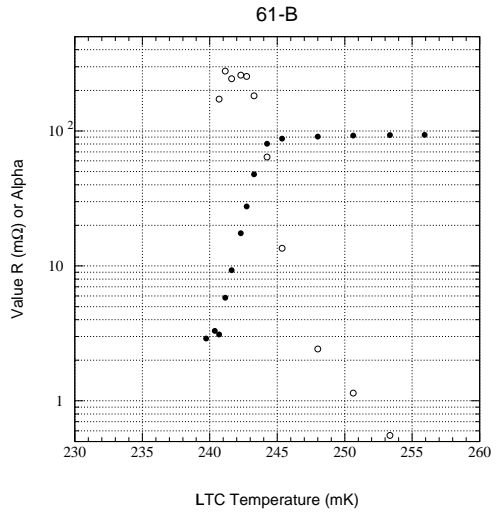


図 5: #61-B  $\alpha$  の値を上書き

### 3.3 I-R 特性

熱伝導度  $G$  は、

$$G \equiv \frac{dP}{dT}$$

の式で定義される。これと  $\alpha$  の定義式 (??) から、

$$G = \frac{\alpha R}{T} \frac{dP}{dR} \quad (12)$$

と表すことができるので、測定時のジュール発熱の変化量  $dP$  と、それによる抵抗値の変化量  $dR$  とから  $G$  を求めることができ。この方法を用いて、#61-A、#61-B それぞれの素子について求め、熱伝導度  $G$  と温度  $T$  との関係を表したのが、それぞれ、図 6、図 ?? である。LR-700 のブリッジのレンジを、 $20[\mu\text{V}]/20[\Omega]$  として測定した抵抗値と、 $20[\mu\text{V}]/60[\Omega]$  として測定した抵抗値との差を  $dR$  とし、その時のジュール発熱の差を  $dP$  として求めた。

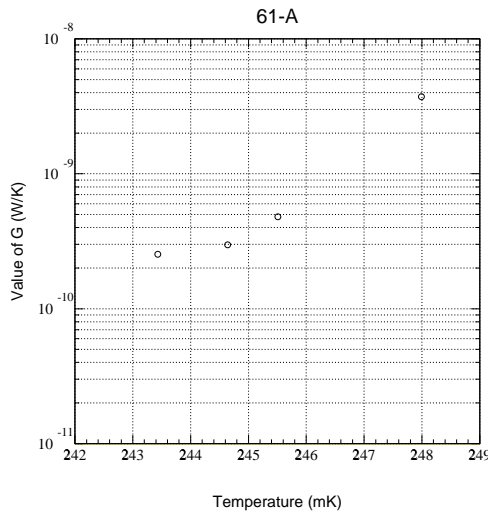


図 6: #61-A 热伝導度

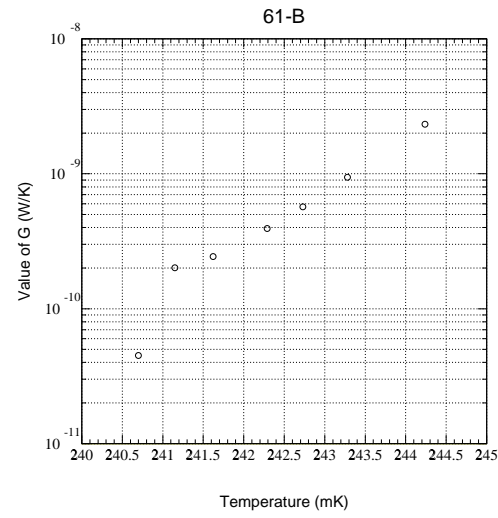


図 7: #61-B 热伝導度

## 4 考察

### 5 性能の見積もり

#### 5.1 エネルギー分解能

$\alpha$  の大きな極限での TES カロリメータの素子のみで決まるエネルギー分解能は、動作温度  $T$ 、その温度での熱容量を  $C$  として、

$$\Delta E \sim 2.36 \sqrt{4k_B T^2 C \frac{1}{\alpha} \sqrt{\frac{n+1}{2}}} \quad (13)$$

で表される。ここで、 $n$  は物質による定数で Si の場合は、 $n = 4$  として良い。また、Si の熱容量の式は、式(6)で表されるため、

$$\Delta E \sim 480 \sqrt{\frac{T^5}{\alpha}} \text{ [eV]} \quad (14)$$

と表すことができる。これを素子 #61-B に適用し、カロリメータの動作温度と、そのときに期待される分解能との関係をプロットしたものが、図 8 である。

#### 5.2 動作点の決定

次に動作時にカロリメータに流すバイアス電流について考える。カロリメータを温度  $T_C$  の熱浴に固定して動作させる場合を考える。動作点での TES の部分の温度を  $T$ 、抵抗値を  $R$ 、バイアス電流を  $I$ 、熱伝導度を  $G$  とする。動作点では、TES のジュール発熱  $RI^2$  が、熱浴に逃げて行く熱量  $G(T - T_C)$  と等しいことから、

$$RI^2 = G(T - T_C) \quad (15)$$

が成り立っている。これを変形させると、

$$I = \sqrt{\frac{G(T - T_C)}{R}} \quad (16)$$

となるので、動作温度  $T$  を固定した際の、熱浴の温度とバイアス電流の関係を求めることができる。 $\alpha$  の値、 $\Delta E$  の値から  $\sim 241$ mK で動作させるのが好ましい。その際の最適なバイアス電流の値を図 9 から求めると、 $5\mu A$  程度のバイアス電流で動作させてやれば良いことがわかる。

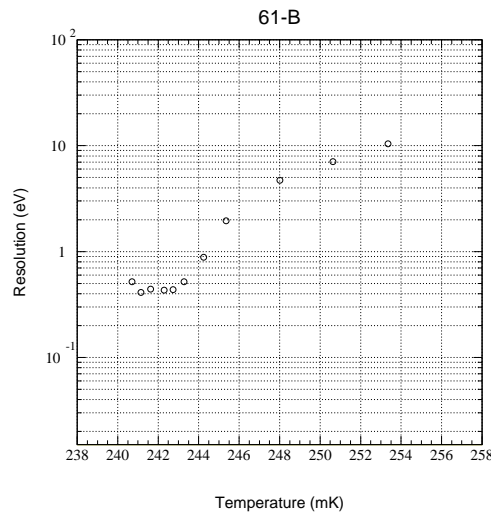


図 8: #61-B 素子のみで決まるエネルギー分解能

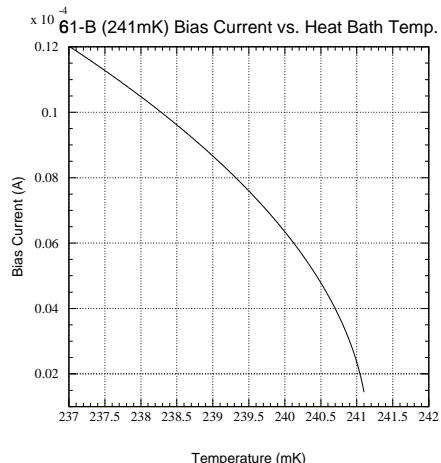


図 9: バイアス電流と熱浴の温度の関係

素子の名前	#61-B
$T$ [mK]	241
$R$ [ $\Omega$ ]	5.8
$\alpha$	278
$\Delta E$ [eV]	0.41
$C$ [J/K]	$1.7 \times 10^{-13}$
$G$ [W/K]	$2.0 \times 10^{-10}$

図 10: 動作点候補